

# PALYNOLOGICAL STUDY OF AN OLISTOLITH FROM THE SO-CALLED SUCHA FORMATION, ZAWOJA IG-1 BOREHOLE (FLYSCH CARPATHIANS, POLAND): AGE AND PALAEOENVIRONMENT

Przemysław GEDL

*Institute of Geological Sciences, Polish Academy of Sciences, Senacka 1, 31-002 Kraków, Poland  
Laboratory of Palaeobotany and Palynology, Budapestlaan 4, 3584 CD Utrecht, The Netherlands*

Gedl, P., 1997. Palynological study of an olistolith from the so-called Sucha Formation, Zawoja IG-1 borehole (Flysch Carpathians, Poland): age and palaeoenvironment. *Ann. Soc. Geol. Polon.*, 67: 203–215.

**Abstract:** Palynological research of an olistolith from the so-called Sucha Formation from the Zawoja IG-1 borehole indicates that it represents a continuous section of Lower Cretaceous (Barremian–Albian) deposits rather than a complex of several olistoliths of different age. The black shale complex of this olistolith is comparable with the Spas shales or the Veřovice shales and lower part of the Lgota beds. Based on the quantitative analysis of the dinocyst assemblages Barremian–Albian sea level fluctuations in the Carpathian flysch basin are reconstructed.

**Abstrakt:** Badania palinologiczne utwórz olistolitu z tzw. formacji suskiej w wierceniu Zawoja IG-1 wykazały, że reprezentuje on ciągły profil dolnokredowych osadów, a nie zespołów mniejszych olistolitów różnego wieku. Wiek olistolitu określono w oparciu o dinocysty na barrem–najwyższy alb. Najprawdopodobniej odpowiada on łupkom spaskim lub łupkom wierzowskim i dolnej części warstw Igockich. Analiza zespołów dinocyst pozwoliła na odtworzenie wahania poziomu morza jakie zachodziły w barremie–albie w basenie Karpat fliszowych.

**Key words:** dinocysts, Early Cretaceous, biostratigraphy, palaeoenvironment, Flysch Carpathians, Poland.

*Manuscript received 17 September 1996, accepted 3 March 1997*

## INTRODUCTION

The Sucha Formation was defined by Ślączka (1977) in the Sucha IG-1 borehole (at a depth of 2901–3168 m) below the Carpathians overthrust. It represents a lower part of the Miocene: Otnangian?–Karpatian (Strzepka, 1981) or Eggenburgian–Otnangian (Garecka *et al.*, 1996). The formation was described as continental (brackish) variegated deposits in the lowermost and uppermost parts, separated by a 165-m thick complex of olistoliths. The olistolith complex was composed of several black and red olistoliths of the flysch shales (from several millimetres to several metres thick) embedded in a tawny-red loamy-sandy matrix (Ślączka, 1977). The lowermost part of the formation in the Sucha IG-1 borehole (3142–3168 m) has been attributed by Moryc (1989) to the Lower Triassic platform deposits.

An Early Cretaceous microfauna was found in olistolith complex of the Zawoja IG-1 borehole (Moryc, 1989). The purpose of the present paper is to determine the age and environmental conditions of the Lower Cretaceous deposits of the so-called Sucha Formation from this borehole by the use of quantitative palynological analysis.

## MATERIAL

The Zawoja IG-1 borehole was located in the western part of the Flysch Carpathians, near Sucha Beskidzka (Fig. 1). According to Moryc (1989), it subsequently penetrated the overthrust Carpathian units (3825 m thick), then presumably Miocene deposits (1000 m thick) and terminated at a depth of 4825 m within red deposits considered to represent the Triassic platform deposits. Moryc recognized the Sucha Formation from a depth of 4407 m to 4666 m. Because this section is developed differently from the stratotype, it is here referred to as the “so-called Sucha Formation”. In the Zawoja IG-1 borehole it is developed as a uniform complex of dark-coloured (predominantly black), non-calcareous claystones and mudstones with infrequent intercalations of thin-bedded, slightly lighter-coloured sandstones. In contrast, the Sucha Formation from the Sucha IG-1 borehole is composed of several separate olistolith units. In the Zawoja IG-1 borehole there is no trace of variegated continental deposits in the upper and lower part of this unit such as known from the Sucha IG-1 borehole (Ślączka, 1977).

The samples for palynological analysis have been taken from each cored interval of the so-called Sucha Formation in the Zawoja IG-1 borehole from the following depths:

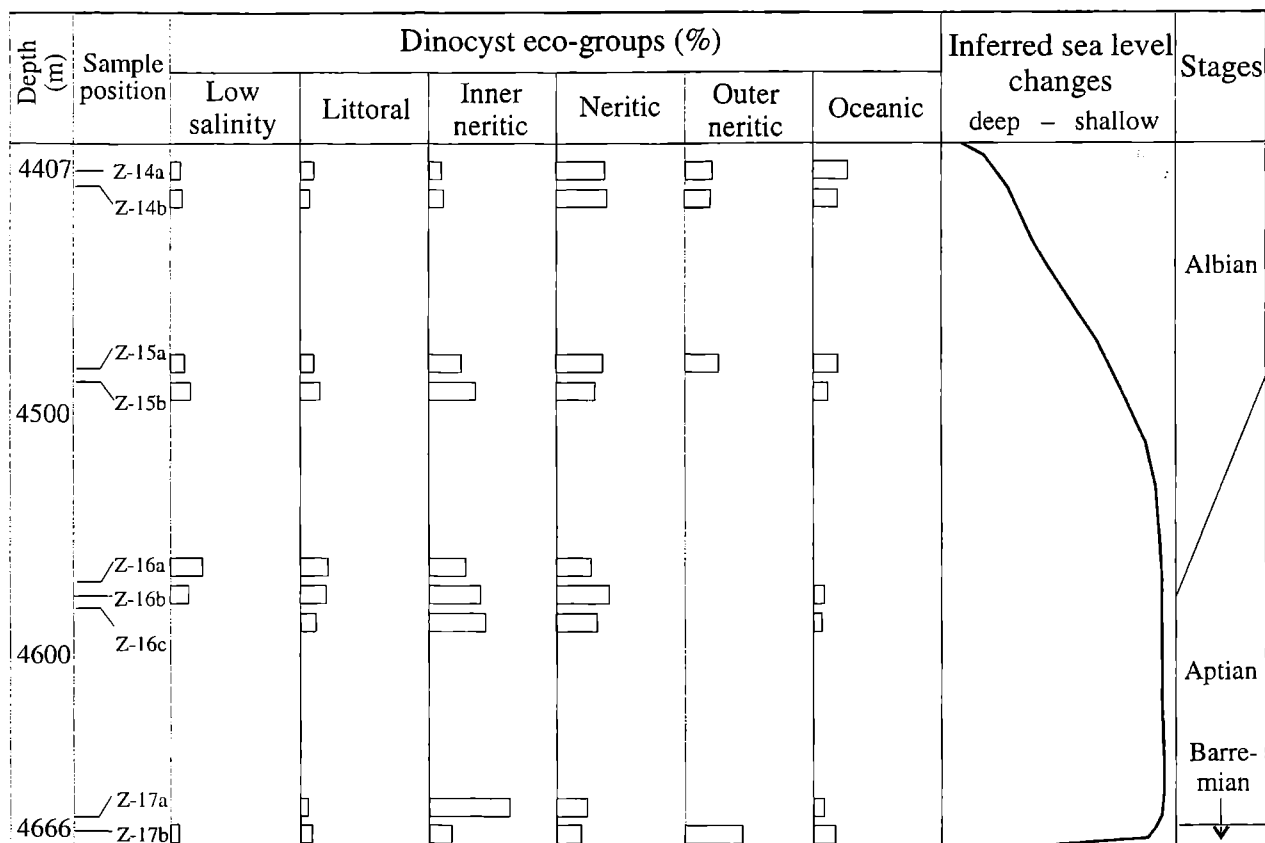


Fig. 4. Distribution of dinocyst eco-groups and reconstruction of the depositional palaeoenvironment of the Lower Cretaceous black shale olistolith of the so-called Sucha Formation from the Zawoja IG-1 borehole

comparable dinocyst assemblage to that described by Jamiński (1995) from the Albian Lgota beds of Lanckorona. Książkiewicz (1975; p. 344) estimated the depth of the deposition of Veřovice shales as "outer neritic zone and more probably the upper bathyal depths". This statement could be applicable to shales and palynomorph assemblage of sample Z-17b (outer neritic setting). The stratigraphically higher deposits show more shallow-marine character of their palynomorph assemblages. Książkiewicz (1975) mentioned a very shallow-marine depositional environment in the lower part of the Lgota beds. This could correspond with shallow-marine environment of samples Z-16. According to Książkiewicz (1975; p. 344), the upper part of the Lgota beds was deposited at "depths not greater than the upper bathyal zone". Only the dinocyst assemblages from samples Z-14a and Z-14b may correspond to the above described conditions.

## CONCLUSIONS

The so-called Sucha Formation in the Zawoja IG-1 borehole is developed differently than at its stratotype the Sucha IG-1 borehole. It is a 260-m thick single olistolith of black shales with infrequent sandstones instead of a complex of several smaller olistoliths. Miocene is not evidenced in the investigated interval. The black shale olistolith in the

Zawoja IG-1 borehole contains dinocyst assemblages of Barremian to Late Albian age (Fig. 3). The olistolith corresponds in age with the Spas shales or the upper part of the Veřovice shales and possibly also a lower part of the Lgota beds from the Flysch Carpathians. The dinocyst assemblages indicate distinct shallowing close to the Barremian/Aptian and Aptian/Albian boundaries in the Carpathian basins. The Barremian and Albian deposits appear to have been deposited in a relatively deep setting (Fig. 4).

## Acknowledgements

The author would like to thank Dr H. Leereveld and Drs R. Verreussel (Laboratory of Palaeobotany and Palynology, Utrecht, The Netherlands) for their aid during preparation of this paper. The author is deeply indebted to Dr E. Jawor (Polish Petroleum Company, Kraków) for making samples available for this study. Prof. Dr N. Oszczypko (Institute of Geological Sciences, Jagiellonian University, Kraków) is greatly acknowledged for very helpful discussion. Special thanks are due to Prof. Dr K. Birkenmajer (Institute of Geological Sciences, Polish Academy of Sciences, Kraków) for his editorial help and discussion while preparing this paper for publication. Dr. M. Nowogrodzka-Zagórska (Collegium Medicum, Jagiellonian University, Kraków) helped the author during the SEM observations. Elżbieta Gedl is acknowledged for preparing the photographs for this publication. In 1996, the author's work was also assisted by an award from the Foundation for Polish Science.

## APPENDIX

List of dinocyst taxa from the so-called Sucha Formation in the Zawoja IG-1 borehole is provided below. The dinocyst range-chart is shown at the Fig. 2. All taxonomic citations can be found in Lentin & Williams (1993). A selection of the taxa is shown in Figures 5–10 with sample code and England Finder coordinates indicated.

- Apteodinium granulatum* Eisenack, 1958a emend. Lucas-Clark, 1987  
*Apteodinium maculatum* subsp. *grande* (Cookson & Hughes, 1964) Below, 1981a  
*Batioladinium jaegeri* (Alberti, 1961) Brideaux, 1975  
*Callaosphaeridium asymmetricum* (Deflandre & Courteville, 1939) Davey & Williams, 1966  
*Canningia minor* Cookson & Hughes, 1964  
*Canningia* sp.  
*Cannosphaeropsis utinensis* O. Wetzel, 1932 emend. Marheinecke, 1992  
*Carpodinium granulatum* Cookson & Eisenack, 1962b emend. Leffingwell & Morgan, 1977  
*Chlamydophorella nyei* Cookson & Eisenack, 1958  
*Circulodinium distinctum* (Deflandre & Cookson, 1955) Janusius, 1986  
*Circulodinium* sp.  
*Cleistosphaeridium?* *aciculare* Davey, 1969a  
*Cleistosphaeridium?* *multispinosum* (Singh, 1964) Brideaux, 1971  
*Coronifera oceanica* Cookson & Eisenack, 1958 emend. May, 1980

- Cribroperidinium* spp.  
*Cymosphaeridium validum* Davey, 1982  
*Dapsilidinium chems* (Below, 1982c) Lentin & Williams, 1985  
*Exochosphaeridium muelleri* Yun, 1981  
*Exochosphaeridium phragmites* Davey, Downie, Sarjeant & Williams, 1966  
*Florentinia cooksoniae* (C. Singh, 1971) Duxbury, 1980  
*Florentinia interrupta* Duxbury, 1980  
*Florentinia mantellii* (Davey & Williams, 1966b) Davey & Verdier, 1973  
*Gardodinium trabeculosum* (Gocht, 1959) Alberti, 1961  
*Gonyaulacysta cassidata* (Eisenack & Cookson, 1960) Sarjeant, 1966b  
*Hystrichodinium pulchrum* Deflandre, 1935  
*Hystrichosphaeridium salpingophorum* (Deflandre, 1935) Deflandre, 1937b  
*Hystrichosphaerina schindewolfii* Alberti, 1961  
*Hystrichostrogylon membraniformum* Agelopoulos, 1964  
*Hystrichostrogylon stolidatum* (Duxbury, 1980) Stover & Williams, 1987  
*Isabelidinium gallium* (Davey & Verdier, 1973) Stover & Evitt, 1978  
*Kiokansium unituberculatum* (Tasch, 1964) Stover & Evitt, 1978  
*Kleithriaspaeridium corrugatum* Davey, 1974  
*Kleithriaspaeridium eoinodes* (Eisenack, 1958a) Davey, 1974 emend. Sarjeant, 1985a  
*Litosphaeridium arundinum* (Eisenack & Cookson, 1960) Davey, 1979b  
*Litosphaeridium siphoniphorum* (Cookson & Eisenack, 1958) Davey & Williams, 1966b emend. Lucas-Clark, 1984  
*Muderongia* sp.  
*Odontochitina operculata* (O. Wetzel, 1933a) Deflandre & Cook-

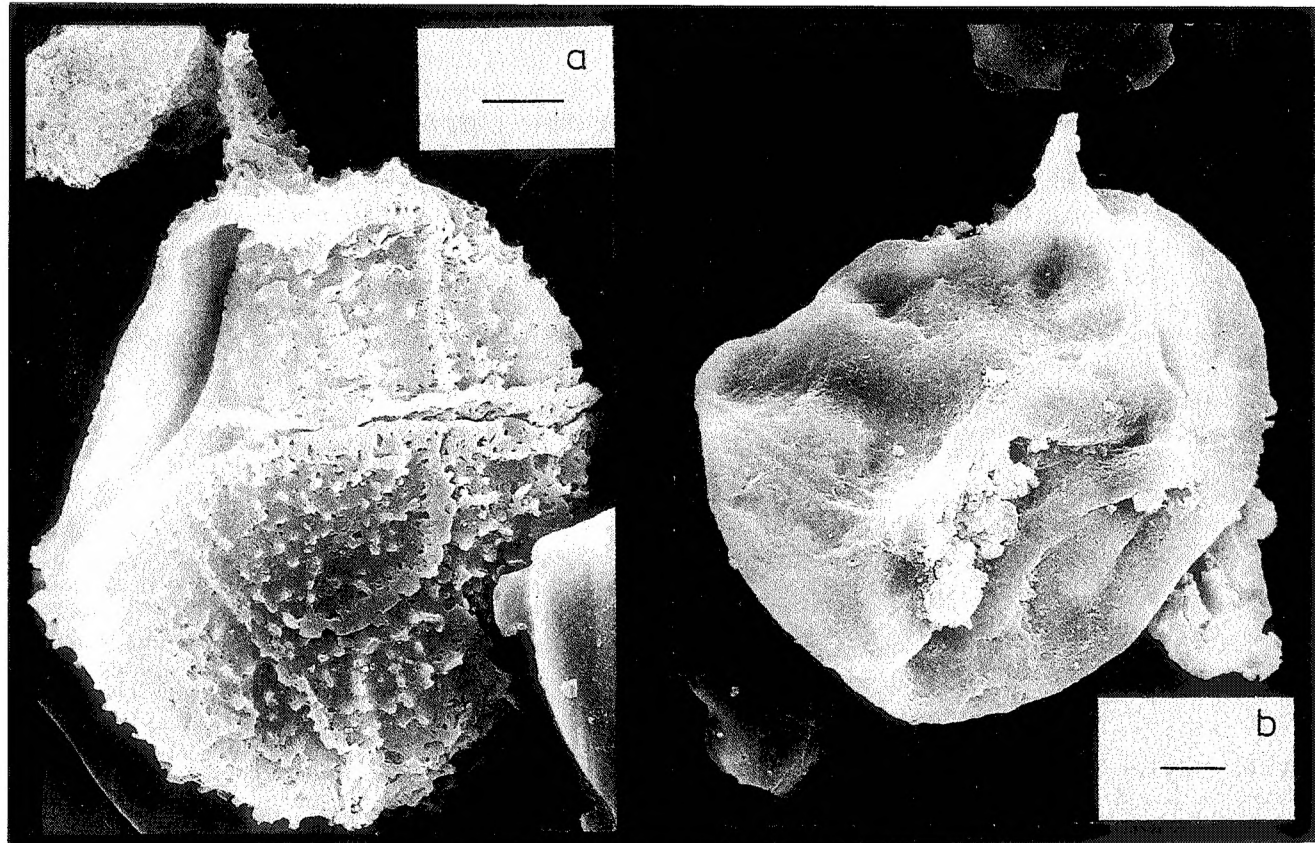


Fig. 5. Dinocysts from the so-called Sucha Formation from the Zawoja IG-1 borehole: a. *Cribroperidinium* sp. (sample Z-16b); b. *Apteodinium maculatum* subsp. *grande* (sample Z-14a). Scale bars indicate 10 µm

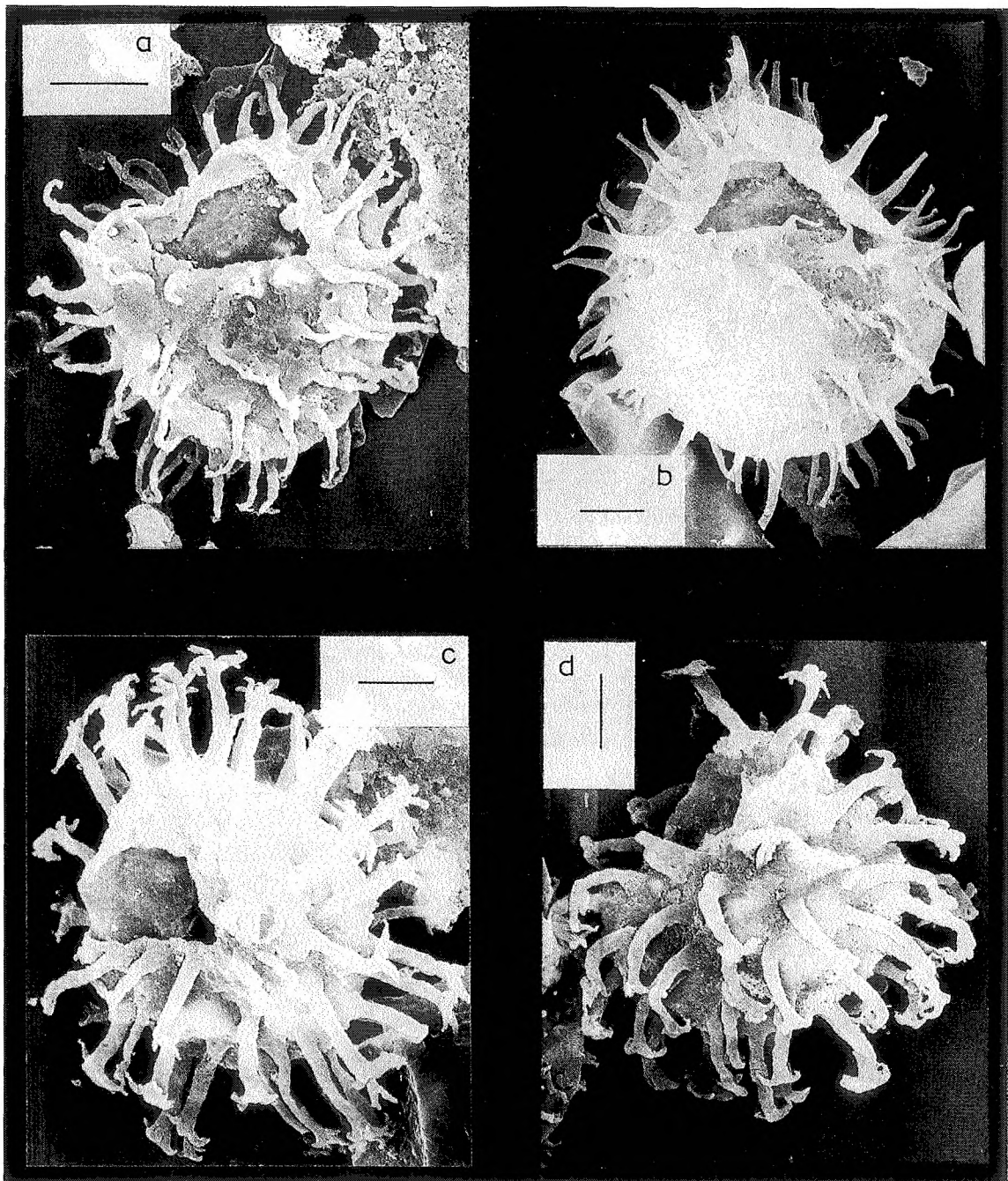


Fig. 6. Dinocysts from the so-called Sucha Formation from the Zawoja IG-1 borehole: a, c, d. *Kiockansium unituberculatum* (sample Z-16b); b. *Exochosphaeridium muelleri* (sample Z-15a). Scale bars indicate 10  $\mu\text{m}$

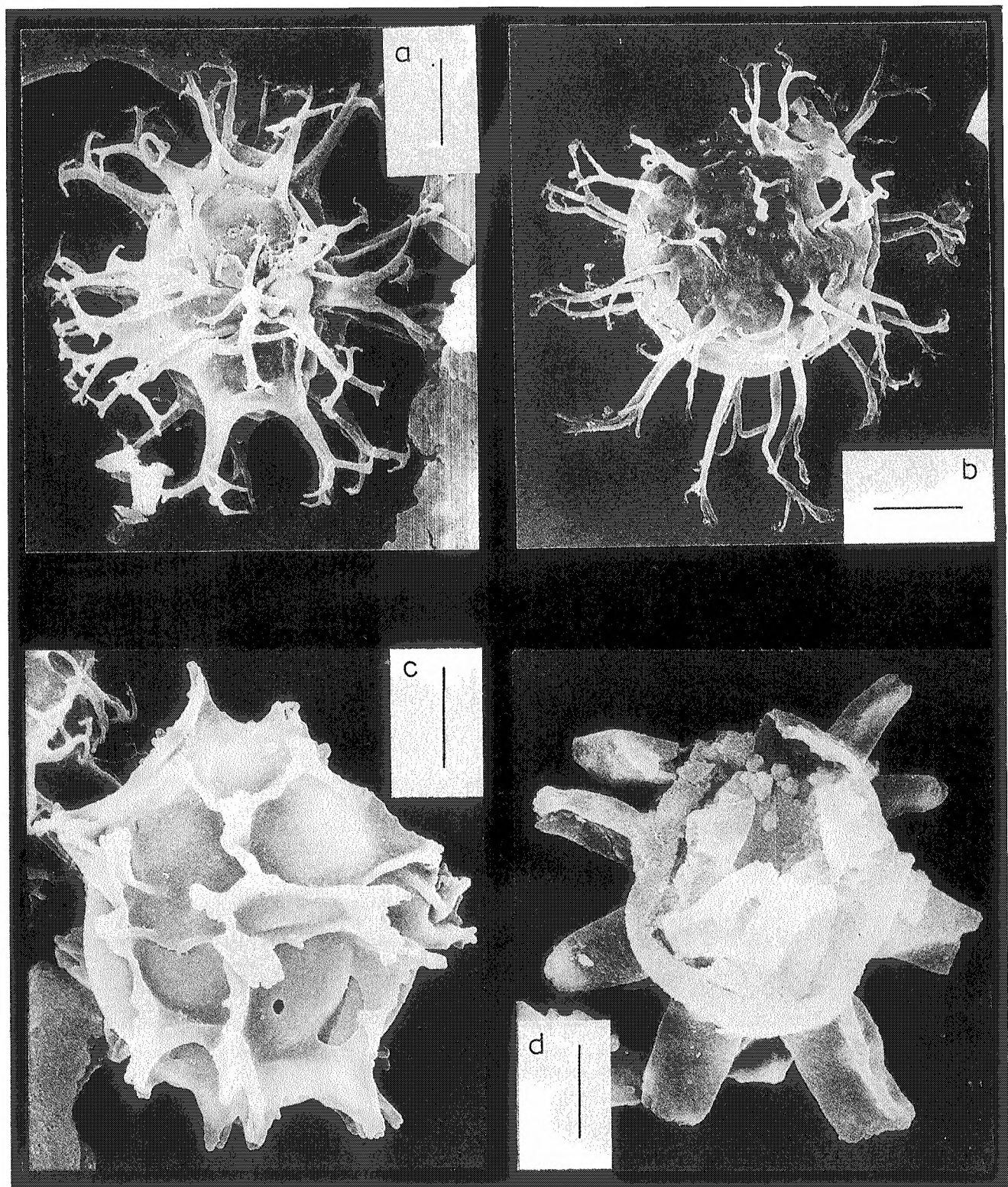
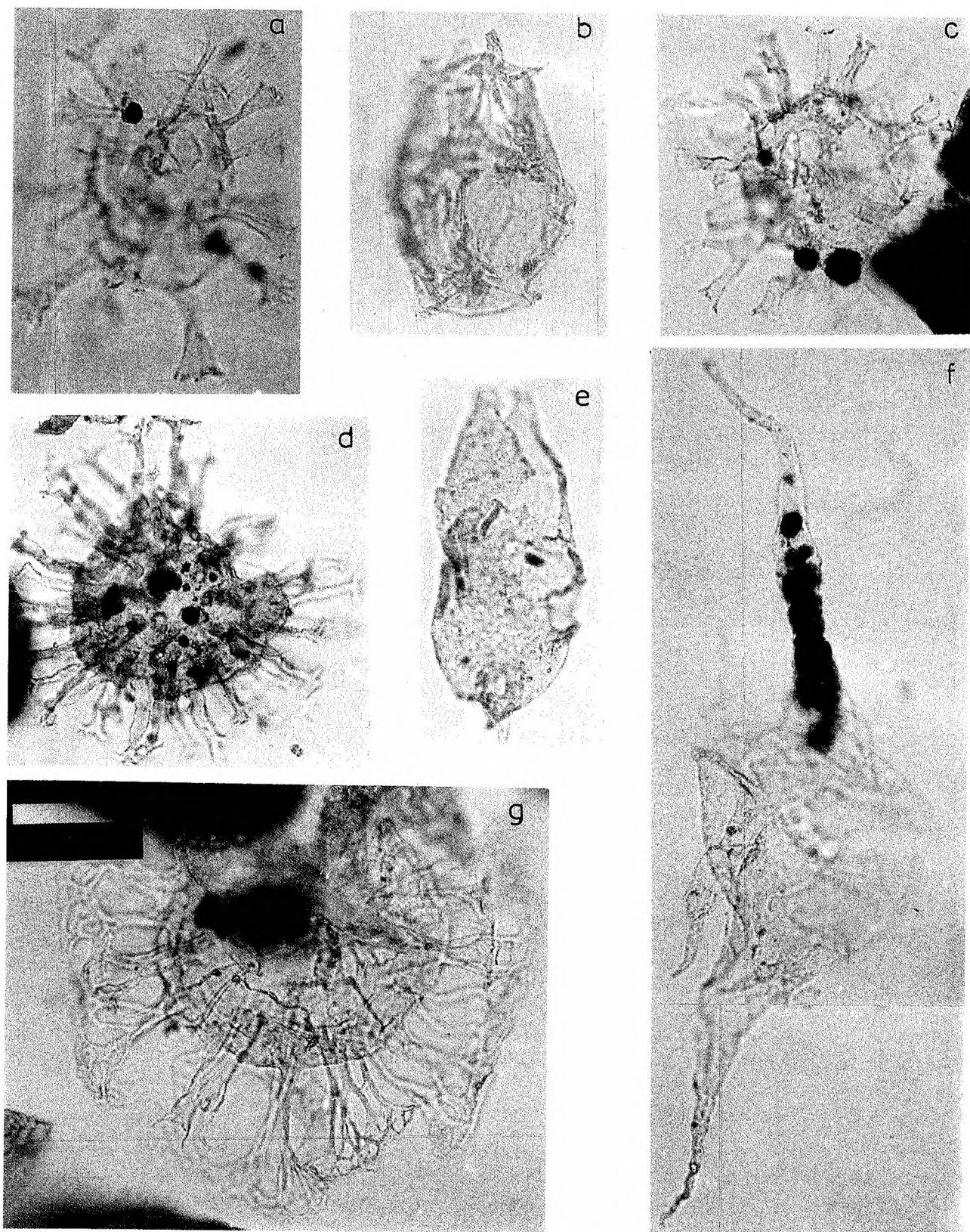
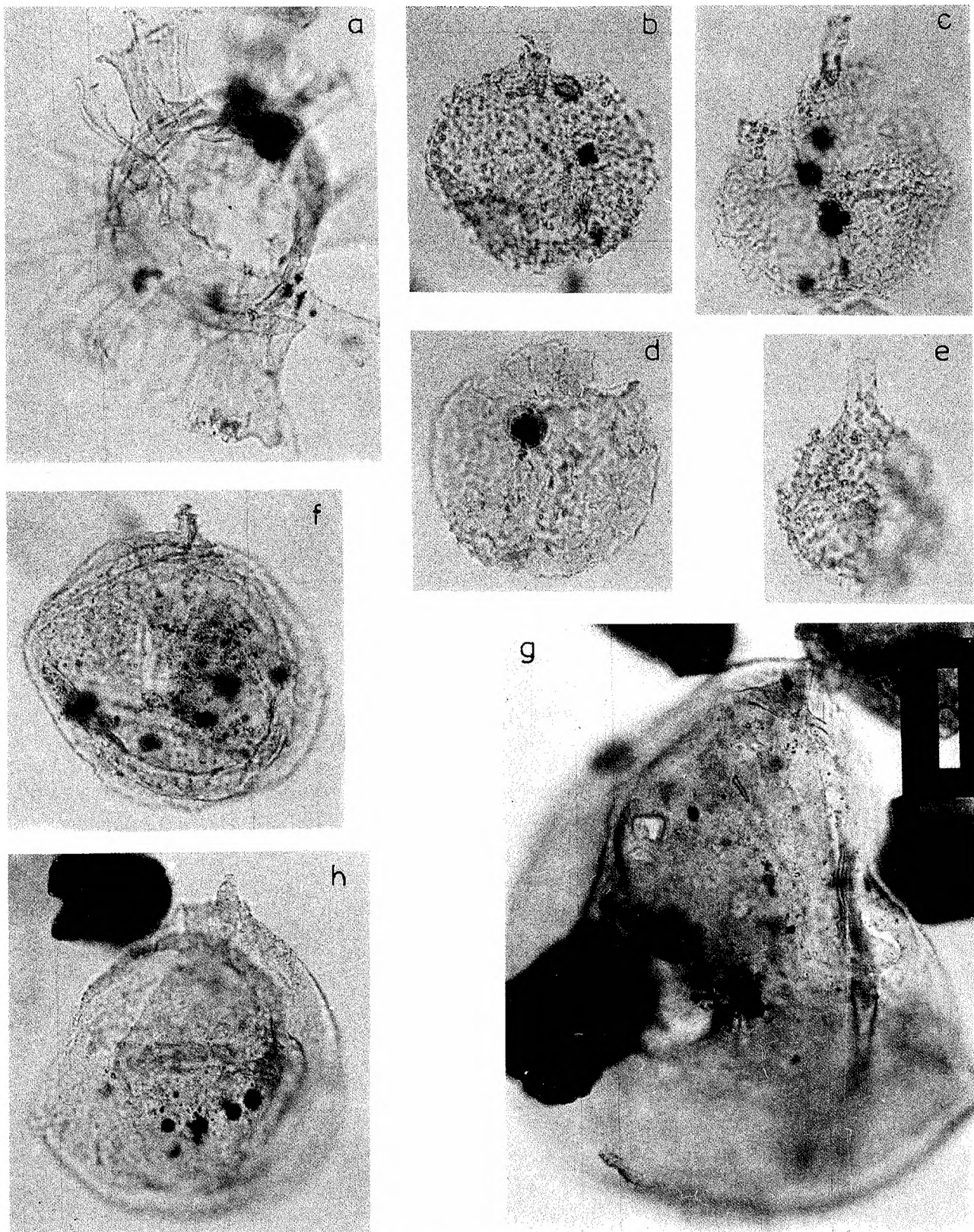


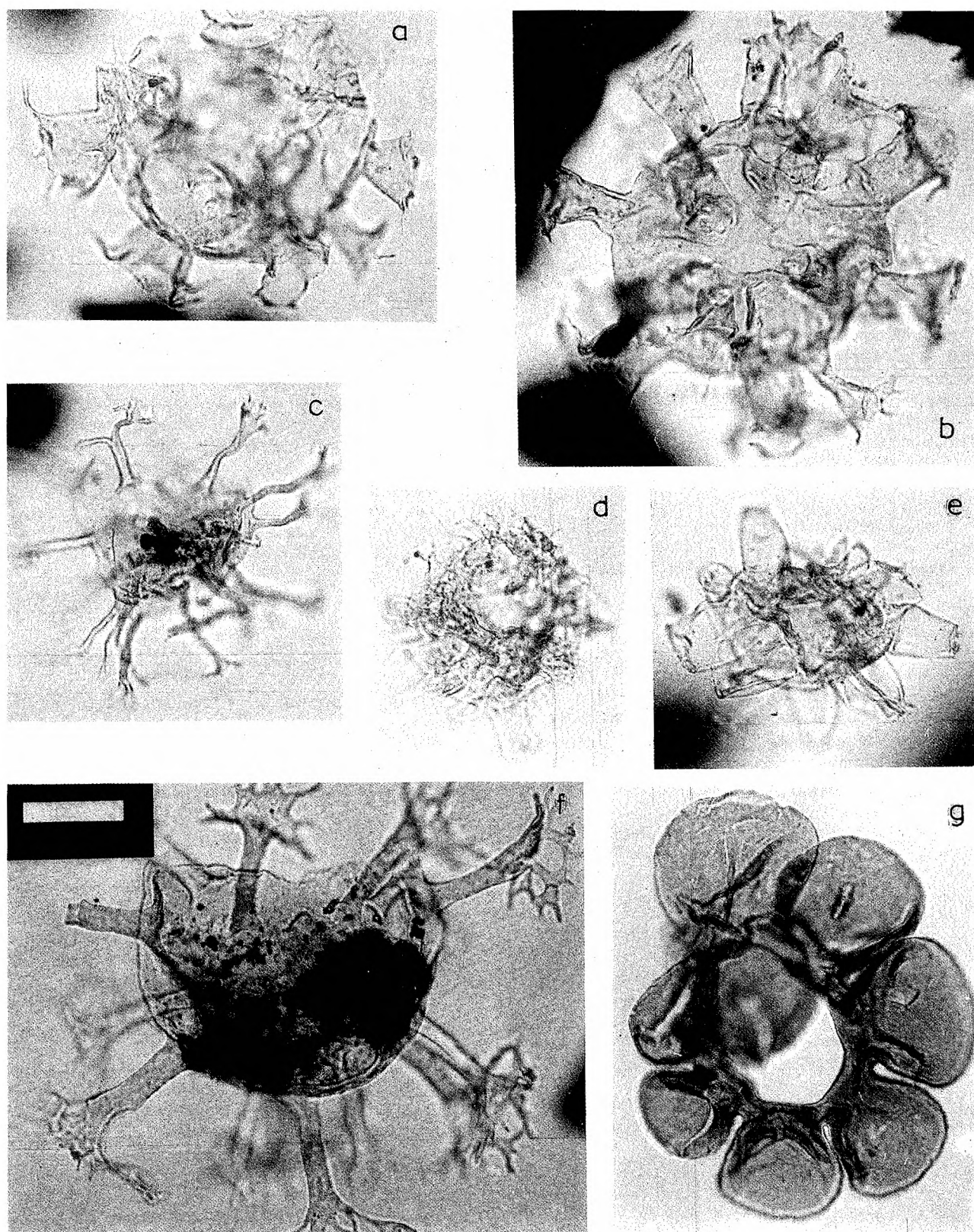
Fig. 7. Dinocysts from the so-called Sucha Formation from the Zawoja IG-1 borehole: a. *Spiniferites* sp. (sample Z-15a); b. *?Surculosphaeridium longifurcatum* (sample Z-15a); c. *Pterodinium cingulatum* (sample Z-14a); d. *Litosphaeridium siphoniphorum* (sample Z-14a). Scale bars indicate 10  $\mu\text{m}$ .



**Fig. 8.** Dinocysts from the so-called Sucha Formation from the Zawoja IG-1 borehole: **a.** *Kleithriasphaeridium corrugatum* (sample Z-17b, [Q51.4]); **b.** *Carpodinium granulatum* (sample Z-16b, [N39.2]); **c.** *Florentinia mantellii* (sample Z-17b, [E45.2/4]); **d.** *Kiokansium unituberculatum* (sample Z-16b, [K41.2]); **e.** *Batioladinium jaegeri* (sample Z-17b, [C40.3]); **f.** *Odontochitina operculata* (sample Z-17b, [L44]); **g.** *Hystrichosphaerina schindewolfii* (sample Z-17b, [S41.3]). Scale bar on figure 8g indicates 20 µm and refers to all other figures



**Fig. 9.** Dinocysts from the so-called Sucha Formation from the Zawoja IG-1 borehole: **a.** *Florentinia cooksoniae* (sample Z-17b, [E47.1/2]); **b.** *Chlamydophorella nyei* (sample Z-17b, [F39.4]); **c, e.** *Gardodinium trabeculosum* (sample Z-17b: c – [G43], e – [H39]); **d.** *Valensiella reticulata* (sample Z-17b, [D43.4]); **f.** *Trichodinium castanea* (sample Z-17b, [F37.2]); **g.** *Apteodinium maculatum* subsp. *grande* (sample Z-15a, [L50.2]); **h.** *Apteodinium granulatum* (sample Z-17b, [E48]). Scale bar on figure 9g indicates 20 µm and refers to all other figures



**Fig. 10.** Palynomorphs from the so-called Sucha Formation from the Zawoja IG-1 borehole: **a.** *Oligosphaeridium porosum* (sample Z-15a, [P42.1]); **b.** *Oligosphaeridium albertaine* (sample Z-15a, [N39]); **c.** *Surculosphaeridium? longisfurcatum* (sample Z-15a, [M45]); **d.** *Coronifera oceanica* (sample Z-17b, [H47.2]); **e.** *Litosphaeridium siphoniphorum* (sample Z-14a, [C48.2]); **f.** *Oligosphaeridium diluculum* (sample Z-17b, [N37.4]); **g.** microforaminifera lining (sample Z-17b, [M47.3]). Scale bar on figure 10f indicates 20 µm and refers to all other figures

- son, 1955  
*Oligosphaeridium albertense* (Pocock, 1962) Davey & Williams, 1969  
*Oligosphaeridium? asterigerum* (Gocht, 1959) Davey & Williams, 1969  
*Oligosphaeridium complex* (White, 1842) Davey & Williams, 1966b  
*Oligosphaeridium diluculum* Davey, 1982b  
*Oligosphaeridium porosum* Lentin & Williams, 1981  
*Oligosphaeridium totum* Brideaux, 1971  
*Oligosphaeridium* sp.  
*Ovoidinium scabrosum* (Cookson & Hughes, 1964) Davey, 1970  
*Palaeoperidinium cretaceum* Pocock, 1962 emend. Harding, 1990a  
*Pervosphaeridium truncatum* (Davey, 1969a) Below, 1982c emend. Masure, 1988b  
*Prionodinium alaskense* Leffingwell & Morgan, 1977  
*Pseudoceratium* sp.  
*Pterodinium cingulatum* (O. Wetzel, 1933b) Below, 1981a  
*Pterodinium premnos* Duxbury, 1980  
*Spinidinium* sp.  
*Spiniferites* spp.  
*Stephodinium coronatum* Deflandre, 1936a  
*Stiphrosphaeridium anthophorum* (Cookson & Eisenack, 1958) Lentin & Williams, 1985  
*Subtilisphaera* spp.  
*Surculosphaeridium? longifurcatum* (Firction, 1952) Davey, Downie, Sarjeant & Williams, 1966  
*Systematophora palmula* Davey, 1982b  
*Tanyosphaeridium isocalamus* (Deflandre & Cookson, 1955) Davey & Williams, 1969  
*Trichodinium castanea* (Deflandre, 1935) Clarke & Verdier, 1967  
*Valensiella reticulata* (Davey, 1969a) Courtinat, 1989  
*Xiphophoridium alatum* (Cookson & Eisenack, 1962b) Sarjeant, 1966b
- Rev. Palaeobot. Palynol.*, 87: 43–50.  
Książkiewicz, M., 1975. Bathymetry of the Carpathian Flysch Basin. *Acta Geol. Polon.*, 25: 309–367.  
Leereveld, H., 1995. Dinoflagellate cysts from the Lower Cretaceous Rio Argos succession (SE Spain). *LPP Contrib. Ser.*, 2: 1–175.  
Lentin, J. K. & Williams, G. L., 1993. Fossil dinoflagellates: index to genera and species, 1993 edition. *Am. Assoc. Stratig. Palynol.*, Contrib. Ser. 28, 1–856.  
Lister, J. K. & Batten, D. J., 1988. Stratigraphic and palaeoenvironmental distribution of Early Cretaceous dinoflagellate cysts in the Hurlands Farm Borehole, West Sussex, England. *Palaeontographica*, Abt. B, 210: 9–89.  
Marecka, I., 1991. Charakterystyka osadów dolnomioceniskich z głębszych wierceń w rejonie Suchej Beskidzkiej. M. Sc. thesis, Jagiellonian University, Kraków, Poland: 38 pp (in Polish; unpublished).  
Moryc, W., 1989. Miocen przedgórza Karpat Zachodnich w strefie Bielsko–Kraków. In: Tektonika Karpat i Przedgórza w świetle badań geofizycznych i geologicznych (zagadnienia wybrane); referaty sesji, Kraków, 1989, pp. 170–198.  
Oszczypko, N., 1996. The Miocene dynamics of the Carpathian Foredeep in Poland. *Przegl. Geol.*, 44, 10: 1–12 (in Polish with English summary).  
Strzepka, J., 1981. The Lower Miocene microfauna from the Sucha IG 1 borehole, Poland. *Inst. Geol. Biul.*, 21: 117–122 (in Polish with English summary).  
Ślączka, A., 1977. Rozwój osadów miocenu z otworu wiertniczego Sucha IG-1. *Kwart. Geol.*, 21, 2: 404–405 (in Polish with English summary).  
Tyson, R. V., 1995. *Sedimentary Organic Matter*. Chapman & Hall, London, 615 pp.  
Williams, G. L. & Bujak, J. P., 1985. Mesozoic and Cenozoic Dinoflagellates. In: Bolli, H. M., Saunders, J. B. & Perch-Nielsen, K. (eds). *Plankton stratigraphy*, Cambridge University Press, pp. 847–964.

## REFERENCES

- Batten, D. J., 1982. Palynofacies and salinity in the Purbeck and Wealden of southern England. In: Banner, F. T. & Lord, A. R. (eds.), *Aspects of Micropaleontology*, George Allen & Unwin, London, pp. 278–308.  
Costa, L. I. & Davey, R. J., 1992. Dinoflagellate cysts of the Cretaceous System. In: Powell, A. J. (ed.), *A Stratigraphic Index of Dinoflagellate Cysts*, Chapman and Hall, London, pp. 99–154.  
Garecka, M., Marciniec, P., Olszewska, B. & Wójcik, A., 1996. Nowe dane biostratygraficzne oraz próba korelacji utworów mioceńskich w podłożu Karpat Zachodnich. *Przegl. Geol.*, 44, 5: 495–501.  
Haq, B. V., Hardenbol, J. & Vail, P. R., 1987. Chronology of fluctuating sea levels since the Triassic. *Science*, 235: 1156–1167.  
Heilmann-Clausen, C., 1987. Lower Cretaceous dinoflagellate biostratigraphy in the Danish Central Trough. *Danmarks Geologiske Undersøgelse*, Ser. A, 17: 1–89.  
Hunt, C. O., 1987. Dinoflagellate cyst and acritarch assemblages in shallow-marine and marginal-marine carbonates; the Portland Sand, Portland Stone, and Purbeck formations (Upper Jurassic–Lower Cretaceous) of southern England and northern France. In: Hart, M. B. (ed.), *Micropalaeontology of carbonate environments*, Ellis Horwood Ltd, Chichester, U. K., pp. 209–225.  
Jamiński, J. 1995. The mid-Cretaceous palaeoenvironmental conditions in the Polish Carpathians – a palynological approach.

## Streszczenie

### STUDIUM PALINOLOGICZNE OLISTOLITU Z TZW. FORMACJI SUSKIEJ Z OTWORU ZAWOJA IG-1 (KARPATY FLISZOWE, POLSKA): WIEK I PALEOŚRODOWISKO

Przemysław Gedl

Celem niniejszego artykułu było ustalenie wieku oraz warunków powstania olistolitu czarnych ląpków tzw. formacji suskiej w wierceniu Zawoja IG-1 (Fig. 1). Formacja ta stanowi część osadów wieku mioceńskiego: ?ottnang–karpat według Ślączki (1977) i Strzepki (1981) oraz eggenburg–ottnang według Gareckiej *et al.* (1996), znajdujących się pod nasunięciem karpackim. Formacja suska została opisana po raz pierwszy przez Ślączkę (1977) w wierceniu Sucha IG-1 (2901–3168 m). Obejmuje ona kontynentalno-brakiczne osady wykształcone w stropowej i spagowej części jako pstre osady klastyczne oraz rozdzielający je 165 metrowy kompleks olistostromowy. Kompleks ten składa się z kilku-milimetrowych do kilkumetrowych czarnych i czerwonych olistolitów ląpków fliszowych tkwiących w brunatnoczerwonym ilastopiaszczystym spoiwie (Ślączka, 1977). Dolna część tzw. formacji suskiej w wierceniu Sucha IG-1 (3142–3168 m) została jednak zaliczona przez Moryca (1989) do platformowych osadów triasu dolnego. Badania mikrofaunistyczne olistolitów jednostki suskiej

dały rozbieżne wyniki: wiek paleogeński w wierceniu Sucha IG-1 (Ślączka, 1977) oraz dolnokredowy w otworze Zawoja IG-1 (Moryc, 1989).

Strop utworów podścielających nasunięcie karpackie w otworze Zawoja IG-1 (Fig. 1) został nawiercony na głębokości 3825 m, natomiast spag – na głębokości 4852 m, poniżej którego znajdują się już pstre utwory, najprawdopodobniej trias dolnego (Moryc, 1989). Utwory uznawane za tzw. formację suską w wierceniu Zawoja IG-1 kontaktują od góry z formacją stryszawską wykształconą jako ognisko z Bielska w stropowej partii (3825–4220 m) i jako ognisko ze Stachorówki w dolnej partii (4220–4407 m); natomiast od dołu kontaktują z formacją z Zawoją (4666–4825 m) (Moryc, 1989; Marecka, 1991).

W wierceniu Zawoja IG-1 tzw. formacja suska wykształcona jest zupełnie odmiennie od stratotypowego profilu w wierceniu Sucha IG-1. Jest to jednolity kompleks ciemnych (przeważnie czarnych) silnie złustrowanych, bezwapnistych ilowców i mułowców z rzadkimi przewarstwieniami cienkoławicowych, nieco jaśniejszych piaskowców. Analiza dostępnych odcinków rdzeniowych wiercenia sugeruje, że jest to jeden olistolit, w przeciwieństwie do tzw. formacji suskiej z otworu Sucha IG-1 gdzie jej odselekty olistolityczny składa się z wielu oddzielnych bloków.

Wiek tzw. formacji suskiej w wierceniu Zawoja IG-1 określony został na podstawie obecności dinocyst (Fig. 2) na późny barrem–późny alb (Fig. 3). Ostatnie pojawienie się gatunku *Kleithria-sphaeridium corrugatum* w najniższej próbce Z-17b świadczy o jej barremskim wieku. Próbki od Z-17a do Z-16a są zdominowane przez zubożale zespoły płytakowodnych dinocyst i dokładne określenie ich wieku jest niemożliwe. Jedyną formą przewodnią jest *Hystrichosphaerina schindewolfii*, która po raz ostatni pojawia się w najwyższej części (Leereveld, 1995) lub najniższym albie (Costa & Davey, 1992). Dinocysty występujące w wyższych prób-

kach od Z-15a do Z-14a są już wieku albskiego. *Litosphaeridium arundinum* stwierdzone w próbce Z-15a datuje ją na alb, natomiast obecność *Litosphaeridium siphoniphorum* oraz *Isabelidinium galium* w próbce Z-14a sugeruje jej górnopalbski wiek.

Analiza zespołów dinocyst pozwoliła na stwierdzenie różnic w głębokości basenu w czasie depozycji badanych łupków (Fig. 4). Autor wykorzystał w tej analizie podział kredowych dinocyst ze względu na ich preferencje środowiskowe (Leereveld, 1995). Próbki Z-17b charakteryzuje obecność dinocyst typowych raczej dla środowiska szelfu zewnętrznego (*Chlamydophorella nyei*, *Gardodinium trabeculosum*) i przedstawicieli gatunku *Pterodinium*, typowego dla wód oceanicznych. Najprawdopodobniej w zupełnie odmiennych warunkach powstały utwory reprezentowane przez próbki od Z-17a do Z-15b. Zespół dinocyst z tych próbek jest wyraźnie zdominowany przez formy płytakowodne (m.in. rodzaj *Cribroperidinium*, *Aptedinium* i *Circulodinium*), co wskazuje na znaczne spłycenie środowiska depozycji w stosunku do osadów z próbki Z-17b. Próbka Z-16a, w której licznie występują dinocysty znane z przybrzeżnych wysłodzonych zbiorników (*Odontochitina* i *Muderongia*) reprezentuje osady deponowane w warunkach litoralnych.

Odmienny charakter mają zespoły dinocyst z próbek Z-15a, a zwłaszcza Z-14b i Z-14a. Są one bardziej zróżnicowane (cecha charakterystyczna dla środowiska pełnomorskiego). W próbce Z-17b występuje *Chlamydophorella nyei*, dinocysta szelfu zewnętrznego. Próbki Z-14b i Z-14a są zdominowane przez rodzaj *Spinerites*; stosunkowo licznie występuje *Pterodinium cingulatum*, forma oceaniczna. Świadczy to o pogłębieniu się zbiornika w albie.

Olistolit z wiercenia Zawoja IG-1 odpowiada pod względem wieku łupkom spaskiem lub łupkom wierzowskim i młodszej części warstw Igockich.